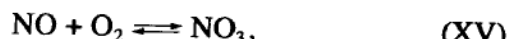


родом (XIV), проходящей через две бимолекулярные стадии (XV, XVI):



Формирование пероксида азота NO_3 в процессе окисления NO кислородом установлено ИК-спектроскопическим методом [27 - 37]. В химических реакциях NO_3 действует как сильный окислитель с редокс-потенциалом пары $\text{NO}_3/\text{NO}_3^-$, равным 2.3 - 2.6 В [31]. Появление NO_3 в качестве промежуточного соединения наблюдали также в реакциях кислородных соединений N(V) с очень сильными окислителями [32, 33] и радикалами [34 - 37]. Скорость образования NO_3 растет при повышении температуры, однако константа равновесия при этом снижается [38].

Окисление NO кислородом происходит в газовой или жидкой фазах в зависимости от соотношения объемов этих фаз и поверхности раздела газ-жидкость. При малом объеме жидкой фазы и небольшой межфазовой поверхности реакция (XIV) осуществляется в газовой фазе и описывается кинетическим уравнением

$$w = k[\text{NO}]^2[\text{O}_2].$$

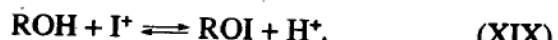
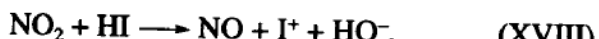
При 25°C $k = 2.8 \times 10^4 \text{ л}^2 \text{ моль}^{-2} \text{ с}^{-1}$, $E = -5.7 \text{ кДж/моль}$, $\Delta S^\circ = -179 \text{ Дж моль}^{-1} \text{ К}^{-1}$ [39]. Если же межфазовая поверхность велика, а объем газовой фазы мал, то реакция (XIV) проходит в жидкой фазе и ее скорость зависит от кислотности среды [40]:

$$w = k[\text{NO}][\text{O}_2][\text{HNO}_3].$$

При 70°C и $[\text{HNO}_3] < 1 \text{ моль/л}$ $k = 2 \times 10^{-1} \text{ л}^2 \text{ моль}^{-2} \text{ с}^{-1}$, $E = 31 \text{ кДж/моль}$ [40]. Когда каталитическую реакцию (I) проводят в интенсивно встряхиваемом реакторе, жидкую фазу находится в капельно-пенном состоянии с развитой поверхностью раздела фаз. В этом случае реакция окисления NO кислородом характеризуется первым порядком по NO и положительной энергией активации.

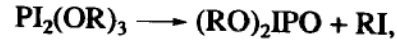
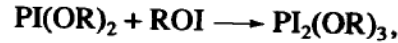
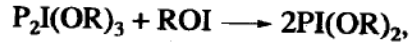
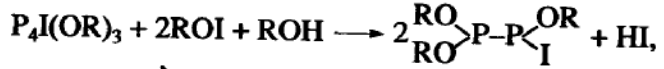
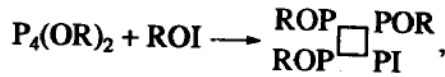
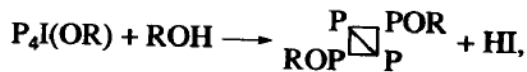
Полученные экспериментальные результаты и литературные данные [12, 13, 19 - 41] позволяют предположить, что в спирте, который имеет низкую диэлектрическую проницаемость и значительно лучше, чем вода, растворяет NO и O_2 , пероксид азота формируется в жидкой фазе и реагирует не с NO, а с иодид-ионом (малый цикл схемы). Потенциометрические данные указывают на высокий (0.70 - 0.85 В) редокс-потенциал каталитического раствора при осуществлении

реакции (I). Поэтому можно предположить, что NO_3 окисляет иодид-ион не до I_2 , а до I^+ :



В присутствии сильных окислителей NO_3 и NO_2 иодид-ион окисляется глубже и иодирующим агентом становится иод-катион I^+ , формирующий со спиртом алкилгиоидит ROI (XIX). Иодирующая способность соединений I^+ быстро растет в ряду $\text{I}_2 < \text{IOH} < \text{IAcO} < \text{IH}_2\text{O}^+ < \text{I}^+$ [42]. Иод-катион формируется путем окисления I_2 или I^- сильными окислителями HNO_3 , HNO_2 , MeCO_3H , H_2O_2 , HIO_3 , HIO_4 , $\text{Na}_2\text{S}_2\text{O}_8$, H_2SO_4 , так как редокс-потенциал пары I^+/I^- имеет высокое значение 0.8 В [42].

После восстановления NaNO_2 до NO, а I_2 до I^- (на ниспадающем участке кинетических и конверсионных кривых) процесс осуществляется в катализитическом по кислороду режиме (большой цикл графа). Катализатором процесса на этом этапе, как уже отмечалось, является система I^-/NO . Из-за недостатка I_2 во второй половине процесса три-пентаиодиды фосфора не формируются. Образующийся по реакции (XIX) алкилгиоидит ROI взаимодействует с P_4 с формированием иодаллокситетрафосфина $\text{P}_4\text{I}(\text{OR})$. Промежуточные продукты ($\text{P}_4\text{I}(\text{OR})$ и др.) этирифицируются до конечного продукта $(\text{RO})_3\text{PO}$, одновременно происходит регенерация катализатора (I^-) по схеме:



В лимитирующей стадии (XX) образуется $\text{P}_4\text{I}(\text{OR})$. Последующие стадии совместного окислительно-го иодирования и алкохилирования циклических и линейных иодаллокситетра- и дифосфинов иодирующим агентом ROI идут быстрее. Движущей силой реакции P_4 с ROI или I_2 являются значительные редокс-потенциалы ROI (0.80 В) и I_2 (0.56 В), а